

IV-69

流出入交通量観測値に基づく時間 OD 交通量の推定に関する研究

名城大学 正員 松本 幸正
名古屋工業大学 正員 松井 寛

1. はじめに

道路ネットワークの高度な有効利用を促進するためには、道路交通需要の時間変動を考慮した交通運用計画が不可欠であり、時間変動する OD 交通量の推計はそのような交通運用のための基礎資料となる。

そこで本研究では対象ネットワークへの流出入交通量観測値に基づいて、時間変動する OD 交通量を推定するための手法を提案し、都市高速道路において実際に適用計算を行う。

2. モデルの定式化

本研究では、各 OD ペア間で経路が一つに限定されるネットワークを対象として考える。またネットワークへの流入及び流出交通量が観測されていると考え、これらの交通量観測値の時間連続データに基づいた OD 交通量の動的推定モデルの定式化を行う。はじめに以下の記号を定義する。

- q_i^t インターバル t の流入交通量観測値
- y_j^t インターバル t の流出交通量観測値
- b_{ij}^t 流入時刻ベースの推移確率
- τ_{ij}^t インターバル t のはじめの時間 $t \cdot u$ に流出地点 j へ到着した車両の旅行時間

ここで u は推定単位時間であり、推移確率 b_{ij}^t については以下の条件を満足しなければならない。なお W は交通量が 0 である OD ペアの集合を表している。

$$\sum_{j \in J} b_{ij}^t = 1 \quad i \in I \dots\dots\dots (1)$$

$$0 \leq b_{ij}^t \leq 1 \quad i \in I, j \in J \dots\dots\dots (2)$$

$$b_{ij}^t = 0 \quad (i, j) \in W \dots\dots\dots (3)$$

いまある OD ペアについて考えると、推定時間インターバル t のはじめの時間 $t \cdot u$ に流出地点へ到着する車両は、 τ_{ij}^t 時間前に流入地点からネットワークへ流入したことになる。同様に次のインターバルのはじめの時間 $(t+1) \cdot u$ に流出地点へ到着した車両は、 τ_{ij}^{t+1} 時間前に流入地点から流入したことになる。ここで、車両の追い越しはほとんど無く、また各時間インターバル内においては車両が一様に分布していると仮定する。このときインターバル t に流出地点へ

到着する車両は、 $t \cdot u - \tau_{ij}^t$ から $(t+1) \cdot u - \tau_{ij}^{t+1}$ の時間内に流入地点から流入した車両ということになり、すなわち流入交通量の観測値 q_i^t と流出交通量の観測値 y_j^t の間の動的な関係が次のように確立される。

$$y_j^t = \sum_{i \in I} \left[\sum_{k=t-\eta_{ij}^{t+1}}^{t-\eta_{ij}^t-1} q_i^k b_{ij}^k - \left(1 - \frac{\tau_{ij}^t}{u} + \eta_{ij}^t \right) q_i^{t-\eta_{ij}^t-1} b_{ij}^{t-\eta_{ij}^t-1} - \left(\frac{\tau_{ij}^{t+1}}{u} - \eta_{ij}^{t+1} \right) q_i^{t-\eta_{ij}^{t+1}} b_{ij}^{t-\eta_{ij}^{t+1}} \right] \quad j \in J \quad (4)$$

ここで

$$\eta_{ij}^t = \text{int} \left[\frac{\tau_{ij}^t}{u} \right] \quad i \in I, j \in J \dots\dots\dots (5)$$

である。上式から明らかなように、対象時間に車両が通過するインターバルは流出地点では 1 インターバルであるが、流入地点では数インターバルにまたがる。そこで $t - \eta_{ij}^t - 1$ から $t - \eta_{ij}^{t+1}$ における平均的な推移確率 \bar{b}_{ij}^t を求める。以降、次のような縦ベクトルを導入し、また問題を流出地点ごとに分解して考え、集合 W に含まれる要素は除外する。なお $'$ は転置を表す。

$$b_t = \left[\bar{b}_{1j}^{t-\eta_{1j}^t-1} \quad \bar{b}_{2j}^{t-\eta_{2j}^t-1} \quad \dots \quad \bar{b}_{Ij}^{t-\eta_{Ij}^t-1} \right]' \dots (6)$$

$$z_t = \left[\hat{q}_1^{\theta_{1j}^t} \quad \hat{q}_2^{\theta_{2j}^t} \quad \dots \quad \hat{q}_I^{\theta_{Ij}^t} \right]' \dots\dots\dots (7)$$

ここで

$$\hat{q}_i^{\theta_{ij}^t} = \sum_{i \in I} \left[\sum_{k=t-\eta_{ij}^{t+1}}^{t-\eta_{ij}^t-1} q_i^k - \left(1 - \frac{\tau_{ij}^t}{u} + \eta_{ij}^t \right) q_i^{t-\eta_{ij}^t-1} - \left(\frac{\tau_{ij}^{t+1}}{u} - \eta_{ij}^{t+1} \right) q_i^{t-\eta_{ij}^{t+1}} \right] \quad j \in J \dots\dots\dots (8)$$

である。いま不等式制約条件 (2) に対するラグランジュ乗数を λ_{ij}^t 、 μ_{ij}^t 及び忘却係数を d とすると、推移確率の推定アルゴリズムは以下のように表せられる。

$$h_t = h_{t-1} d + z_t z_t' \dots\dots\dots (9)$$

$$c_t = c_{t-1} d + z_t y_j^t \dots\dots\dots (10)$$

$$K_t = P_{t-1} z_t (d + z_t' P_{t-1} z_t)^{-1} \dots\dots\dots (11)$$

$$P_t = \frac{1}{d} (I - K_t z_t') P_{t-1} \dots\dots\dots (12)$$

$$b_t = P_t \left(c_t + \frac{1}{2} \lambda_t - \frac{1}{2} \mu_t \right) \dots\dots\dots (13)$$

次にラグランジュ乗数は、双対問題から以下のよう
に求められる。

$$\lambda_{ij}^t = \lambda_{ij}^t + \alpha \sigma_{ij} \quad i \in I, j \in J \dots\dots\dots (14)$$

ただし

$$\sigma_{ij} = \begin{cases} -b_{ij}^t & \text{if } \lambda_{ij}^t > 0 \\ \max(0, -b_{ij}^t) & \text{if } \lambda_{ij}^t = 0 \end{cases} \dots\dots\dots (15)$$

であり、また α は直線探索パラメータであり

$$\alpha = \min \left\{ -\frac{2\sigma_{ij}^t b_{ij}^t}{\sigma_{ij}^t P_{ij} \sigma_{ij}^t}, \min_{i \in I} \left(-\frac{\lambda_{ij}^t}{\sigma_{ij}^t} \right) \right\} \dots\dots\dots (16)$$

となる。なお μ_{ij}^t についても同様の手順により求める。
また等式制約条件(1)を満たすように次の正規化法¹⁾
を用いて推移確率の推定値を修正する。

$$b_{ij}^t = b_{ij}^t / \sum_{j \in J} b_{ij}^t \quad i \in I \dots\dots\dots (17)$$

3. 適用事例

提案したモデルを実際のデータを用いて適用計算を
行う。使用したデータは、平成6年12月に名古屋高
速道路大高線り方向の星崎集約料金所から鶴舞南
ジャンクションの手前までのオンランプ3、オフラン
プ2及び本線通過1の3×3ODペアの区間を対象に行
われた、ナンバープレート調査により得られた個々の
車両のデータである。調査データには、流入時刻及び
流出時刻が含まれているため、それらを用いて1分、
2分、3分、5分及び10分間隔における流入・流出
交通量及び実績OD交通量を求めた。なお旅行時間
については推定単位時間内の平均旅行時間を用いた。
また本モデルにおいては、各ODペアごとに旅行時間
が異なり、従って推定時間帯に差が生じるため、各
適合度指標においては推定単位時間のはじめとおわ
りの部分を除いて計算した。

表1に推定値と実績値の全対象インターバルの相関
係数を示してある。この表から全般に非常に高い相
関性を有することが分かり、推定単位時間が長くなる
ほど相関性が高くなることが分かる。また最適な忘
却係数 d の値は、推定単位時間が長くなる程小さく
なる傾向が見られる。これは推定単位時間が長いほ
どランダム変動より時間的な傾向変動の要素が大き
くなるためであると考えられる。

推定値と実績値の全対象インターバルにおける
RMS誤差の値を表2に示してあるが、忘却係数につ
いては相関係数と同様の傾向が見られることが分か
る。また推定単位時間が長くなるほどRMS値は大き

表1 全対象インターバルにおける相関係数

| | 1.00 | 0.98 | 0.92 | 0.90 |
|-----|--------|--------|--------|--------|
| 1分 | 0.9823 | 0.9814 | 0.9790 | 0.9783 |
| 2分 | 0.9892 | 0.9859 | 0.9835 | 0.9826 |
| 3分 | 0.9833 | 0.9840 | 0.9812 | 0.9823 |
| 5分 | 0.9869 | 0.9913 | 0.9924 | 0.9927 |
| 10分 | 0.9951 | 0.9953 | 0.9958 | 0.9960 |

表2 全対象インターバルにおける RMS 誤差

| | 1.00 | 0.98 | 0.92 | 0.90 |
|-----|--------|--------|--------|--------|
| 1分 | 1.8194 | 1.9145 | 2.1142 | 2.1624 |
| 2分 | 2.6934 | 3.0952 | 3.5643 | 3.7172 |
| 3分 | 5.4233 | 5.2370 | 5.8666 | 5.7679 |
| 5分 | 7.2737 | 5.9337 | 5.5295 | 5.4331 |
| 10分 | 8.9028 | 8.7391 | 8.1697 | 7.9958 |

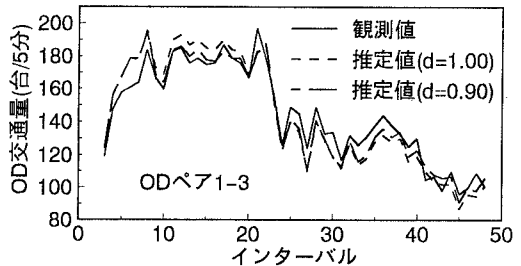


図1 5分間隔 OD 交通量推定値の時間変動

くなっているが、これは交通量の絶対量に係るため
であり、一般的に妥当な値であると思われる。

図1に5分間隔の実績交通量と推定交通量の時間
変動の一例を示してあるが、この図からもOD交通
量の時間変動をよく捉えていることが分かる。

4. おわりに

本研究では、対象ネットワークの流入交通量観測
値に基づいたOD交通量の動的推定手法を提案し、実
際に都市高速道路において適用した結果、十分有意
な推定結果が得られることが分かった。

今後は他の高速道路やネットワークなど、より多
くのODパターン下における適用計算を行い、本モ
デルの妥当性を検証していく必要がある。

最後に、調査を実施するにあたり名古屋高速道路公
社の方々ならびに名城大学栗本教授及び研究室の学
生諸氏に協力を頂いた。ここに記して謝意を表しま
す。

参考文献

1) Nihan N. L. and Davis G. A. : Recursive estimation
of origin-destination matrices from input/output
counts, Transpn. Res. Vol.21B, pp.149-163, 1987